

1 Supplemental material:

2 **Table S1** The relative peak areas of 30 characteristic peaks in 31 batches of Fuzi- Gancao extract

Peak	Sample															
	1	2	3	4	5	6	7	8	9	10	11	12	13	14	15	16
1	0.435	0.234	0.197	0.242	0.220	0.168	0.286	0.173	0.146	0.351	0.195	0.415	0.206	0.325	0.245	0.233
2	0.201	0.197	0.204	0.523	0.542	0.189	0.179	0.146	0.450	0.210	0.477	0.188	0.189	0.186	0.203	0.199
3	0.614	0.636	0.693	0.202	0.192	0.604	0.839	0.473	0.185	0.678	0.158	0.147	0.569	1.488	0.579	0.526
4	0.656	0.545	0.251	0.857	0.549	0.575	0.545	0.428	0.605	0.403	0.613	0.750	0.573	0.503	0.684	0.478
5	0.389	0.442	0.352	0.414	0.200	0.178	0.435	0.197	0.448	0.365	0.403	0.439	0.341	0.572	0.344	0.433
6	0.288	0.342	0.328	0.281	0.359	0.310	0.288	0.301	0.236	0.226	0.178	0.426	0.216	0.746	0.244	0.285
7	0.405	0.313	0.358	0.358	0.383	0.296	0.413	0.240	0.298	0.308	0.272	0.346	0.276	0.584	0.309	0.338
8	0.516	0.442	0.640	0.413	0.475	0.204	0.329	0.206	0.233	0.366	0.377	0.559	0.470	2.095	0.456	0.408
9	0.192	0.268	0.142	0.152	0.145	0.165	0.178	0.149	0.150	0.168	0.261	0.185	0.161	0.200	0.197	0.148
10	0.351	0.260	0.141	0.449	0.308	0.263	0.336	0.177	0.313	0.233	0.199	0.277	0.306	0.359	0.367	0.327
11	0.576	0.574	0.249	0.246	0.688	0.588	0.562	0.670	0.560	0.422	0.341	0.813	0.505	0.612	0.731	0.588
12	0.478	0.274	0.274	0.421	0.388	0.470	0.435	0.247	0.367	0.323	0.155	0.448	0.343	0.401	0.459	0.366
13	0.681	0.646	0.537	1.105	0.425	0.687	0.659	0.156	0.485	0.398	0.406	0.597	0.467	0.280	0.565	0.470
14	0.743	0.659	0.692	3.976	0.721	1.108	0.747	0.141	0.723	0.547	0.307	0.862	0.692	0.486	0.686	0.657
15	0.333	0.304	0.203	0.362	0.276	3.019	0.319	0.668	0.347	0.337	2.809	2.651	0.406	0.288	0.369	0.327

4 **Table S1 (continue)**

Peak	Sample															
	1	2	3	4	5	6	7	8	9	10	11	12	13	14	15	16
16	2.501	2.161	1.932	5.290	2.212	0.177	2.804	2.533	1.985	1.971	2.756	3.511	2.216	0.679	2.612	1.843
17	1.713	1.727	1.874	1.201	2.326	1.912	2.670	4.318	2.243	1.983	0.170	0.152	2.274	1.898	2.539	1.895
18	0.207	0.211	0.201	0.157	0.205	0.238	0.184	0.183	0.227	0.319	0.171	0.445	0.171	0.333	0.179	0.204
19	0.527	0.479	0.418	1.221	0.416	0.677	0.564	0.489	0.455	0.412	0.527	0.683	0.464	0.377	0.499	0.394
20	0.335	0.354	0.312	1.569	0.273	0.412	0.393	0.400	0.395	0.338	0.333	0.349	0.363	0.284	0.332	0.312
21	0.244	0.239	0.200	1.111	0.219	0.299	0.286	0.213	0.254	0.242	0.285	0.393	0.253	0.270	0.235	0.232
22	0.456	0.491	0.370	1.043	0.176	0.438	0.697	0.786	0.596	0.527	0.687	0.632	0.607	0.362	0.660	0.521
23	1.807	2.261	1.549	3.044	1.301	1.740	2.368	1.056	2.908	2.330	1.532	1.648	3.006	1.162	1.812	2.421
24	0.339	0.438	0.336	0.533	0.657	0.303	0.487	0.263	0.527	0.331	0.503	0.274	0.449	0.474	0.492	0.444
25	0.323	0.195	0.270	0.294	0.277	0.194	0.228	0.414	0.220	0.391	0.203	0.354	0.206	0.183	0.235	0.191
26	0.698	1.300	0.519	0.617	1.755	1.020	1.484	1.115	1.404	0.809	1.345	1.445	1.298	0.417	1.389	1.186
27	0.773	0.906	0.889	1.723	1.417	1.429	1.158	1.283	1.182	0.211	1.532	1.463	1.165	0.946	1.195	1.071
28	0.425	0.432	0.389	0.782	0.714	0.479	0.551	0.172	0.601	0.456	0.589	0.288	0.647	0.301	0.554	0.519
29	4.060	5.181	4.551	4.364	6.935	6.356	7.911	7.133	6.470	5.925	9.012	7.457	6.448	4.212	7.077	5.735
30	0.730	0.970	0.857	0.705	1.219	1.236	1.414	0.605	1.174	1.021	1.502	0.736	1.108	0.833	1.151	0.992

6 **Table S1 (continue)**

Peak	Sample														
	17	18	19	20	21	22	23	24	25	26	27	28	29	30	31
1	0.189	0.198	0.277	0.341	0.399	0.204	0.337	0.323	0.204	0.235	0.282	0.149	0.259	0.146	0.415
2	0.202	0.229	0.230	0.187	0.176	0.160	0.167	0.180	0.139	0.233	0.139	0.150	0.156	0.154	0.156
3	0.503	0.698	0.632	0.569	0.235	0.432	0.699	0.597	0.755	0.509	0.631	0.517	0.682	0.563	0.582
4	0.666	0.738	0.976	0.778	0.750	0.739	0.644	0.585	0.583	0.500	0.621	0.544	0.526	0.512	0.524
5	0.357	0.425	0.429	0.231	0.326	0.254	0.322	0.290	0.343	0.320	0.360	0.307	0.325	0.345	0.351
6	0.221	0.283	0.332	0.231	0.299	0.358	0.283	0.263	0.215	0.206	0.235	0.199	0.294	0.191	0.208
7	0.263	0.338	0.353	0.322	0.296	0.234	0.359	0.309	0.415	0.380	0.454	0.311	0.464	0.374	0.394
8	0.358	0.422	0.489	0.384	0.515	0.372	0.425	0.362	0.171	0.146	0.198	0.167	0.484	0.175	0.189
9	0.248	0.201	0.181	0.176	0.177	0.133	0.136	0.150	0.210	0.135	0.234	0.155	0.184	0.196	0.161
10	0.277	0.311	0.247	0.148	0.388	0.185	0.269	0.235	0.315	0.232	0.360	0.391	0.252	0.181	0.271
11	0.688	0.342	0.408	0.235	0.463	0.782	0.448	0.323	0.564	0.501	0.362	0.434	0.475	0.610	0.506
12	0.434	0.361	0.426	0.274	0.386	0.440	0.314	0.385	0.400	0.312	0.309	0.383	0.273	0.257	0.377
13	0.374	0.675	1.004	0.618	0.535	0.182	0.407	0.547	0.465	0.515	0.416	0.564	0.514	0.574	0.627
14	0.501	0.594	1.789	1.201	1.018	0.181	0.890	0.991	0.763	0.904	0.536	0.482	0.690	0.554	0.717
15	0.317	0.363	0.190	0.136	0.183	4.626	2.228	0.203	0.254	0.149	0.241	0.216	0.243	0.236	0.258

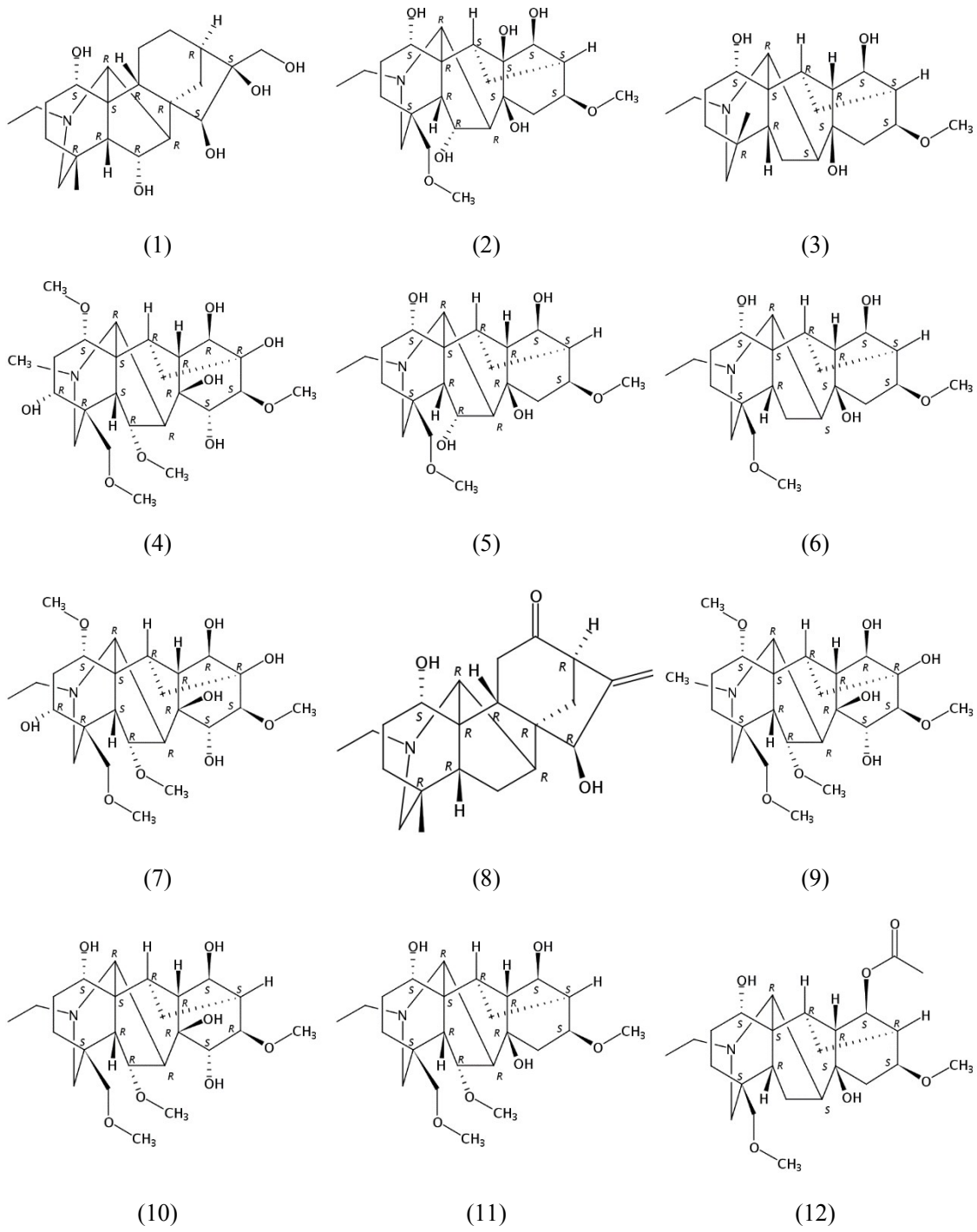
8 **Table S1 (continue)**

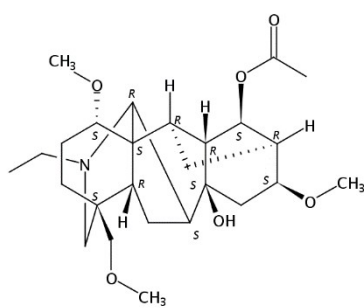
Peak	Sample														
	17	18	19	20	21	22	23	24	25	26	27	28	29	30	31
16	1.865	3.317	4.995	5.025	2.688	7.424	2.418	3.472	2.485	2.564	1.566	1.971	2.604	1.975	2.833
17	2.020	1.692	1.439	1.466	2.466	0.145	0.133	1.503	3.420	2.300	1.716	1.903	2.074	1.727	2.686
18	0.197	0.206	0.222	0.210	0.209	0.426	0.422	0.429	0.415	0.420	0.316	0.166	0.160	0.192	0.157
19	0.397	0.645	1.075	0.825	0.590	1.041	0.483	0.684	0.528	0.556	0.253	0.331	0.492	0.417	0.624
20	0.292	0.309	0.598	0.305	0.367	0.101	0.365	0.329	0.274	0.409	0.253	0.139	0.307	0.345	0.362
21	0.219	0.210	0.510	0.213	0.172	0.749	0.485	0.225	0.188	0.176	0.137	0.385	0.225	0.210	0.279
22	0.501	0.548	0.671	0.310	0.526	0.098	0.494	0.332	0.697	0.469	0.337	0.336	0.604	0.475	0.708
23	2.190	1.395	2.317	1.153	2.321	1.585	2.334	1.040	2.072	2.059	1.768	1.566	1.340	2.649	2.287
24	0.472	0.348	0.456	0.296	0.149	0.469	0.213	0.198	0.318	0.303	0.483	0.142	0.539	0.416	0.460
25	0.171	0.196	0.264	0.541	0.301	0.322	0.162	0.143	0.228	0.209	0.199	0.141	0.285	0.238	0.225
26	0.912	1.043	1.983	0.454	0.842	0.818	0.524	0.833	1.045	0.996	0.617	0.384	1.411	1.255	1.424
27	0.879	0.830	0.831	1.194	1.426	2.119	1.381	1.169	1.711	1.683	0.852	1.014	1.044	0.883	1.227
28	0.395	0.399	0.425	0.337	0.455	0.255	0.444	0.203	0.487	0.426	0.254	0.329	0.505	0.407	0.572
29	5.665	7.599	10.665	13.252	6.085	18.767	7.068	7.492	9.541	7.824	4.026	5.327	6.020	4.753	8.704
30	0.962	1.230	2.051	2.411	1.127	0.379	1.323	1.277	1.543	1.353	0.726	0.992	1.102	0.849	1.546

9 **Table S2** Inhibition rates of 31 batches of Fuzi-Gancao extract on HeLa cells proliferation ($\bar{x} \pm s$, n=3)

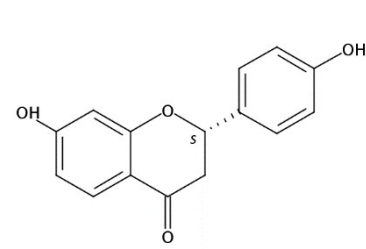
Sample	Inhibition rate/%	Sample	Inhibition rate/%	Sample	Inhibition rate/%
1	88.71± 0.18	12	91.90±0.13	23	91.18±0.19
2	90.49±0.12	13	92.74±0.15	24	89.76±0.27
3	89.48±0.15	14	88.46±0.23	25	90.82±0.49
4	91.64± 0.09	15	91.72±0.21	26	89.70±0.46
5	87.27± 0.14	16	90.74±0.24	27	87.21±0.36
6	93.21±0.36	17	88.67±0.19	28	89.37±0.22
7	88.48±0.20	18	84.86±0.00	29	84.38±0.33
8	29.50±0.79	19	87.47±0.14	30	88.59±0.25
9	90.44±0.15	20	89.13±0.05	31	88.99±0.55
10	90.92±0.10	21	91.72±0.25		
11	90.44±0.27	22	92.06±0.30		

11 Fig.S1 Structural formulas of compounds corresponding to the chromatographic peaks in HPLC-
 12 UV fingerprint of Fuzi- Gancao extract

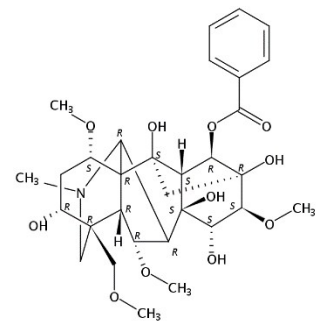




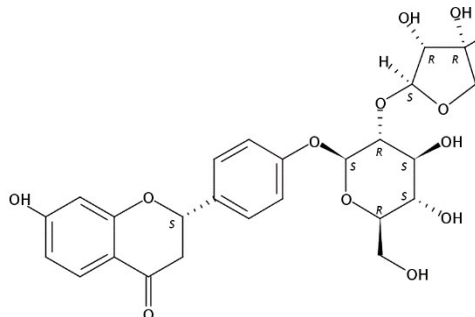
(13)



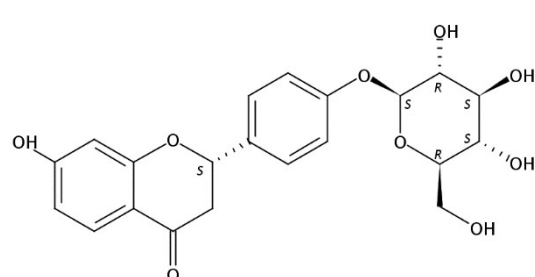
(14)



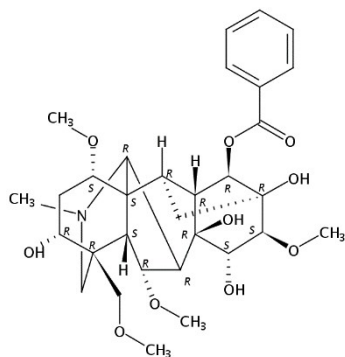
(15)



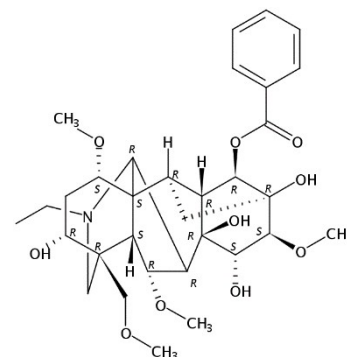
(16)



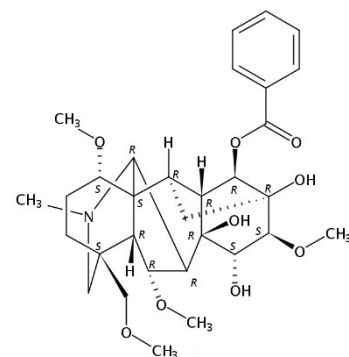
(17)



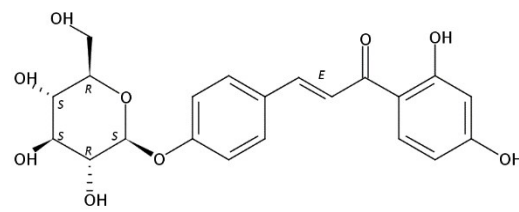
(18)



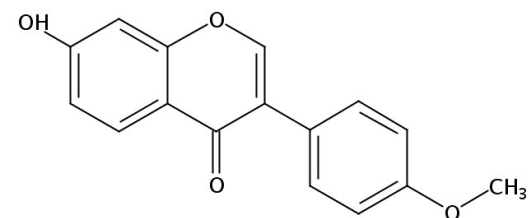
(19)



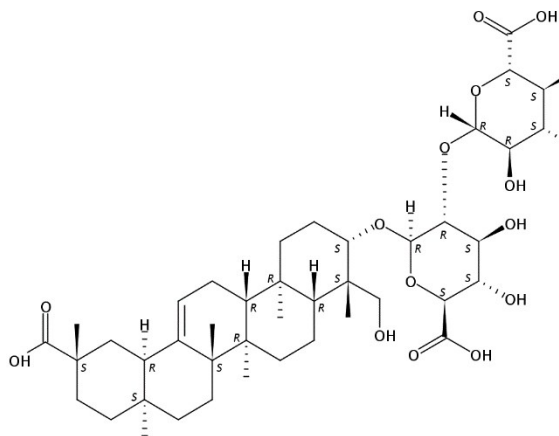
(22)



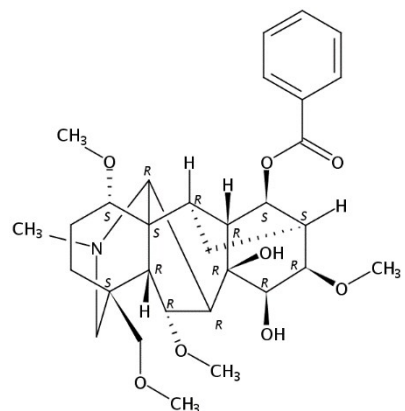
(21)



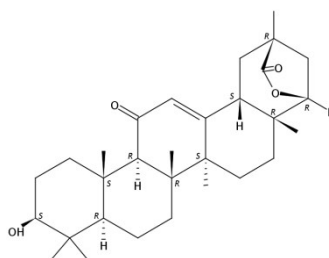
(23)



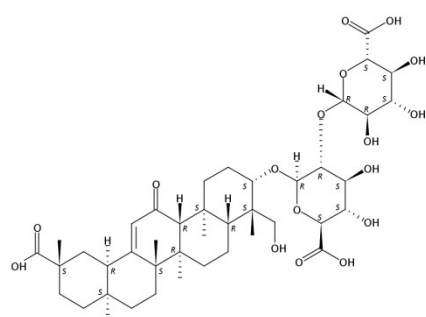
(24)



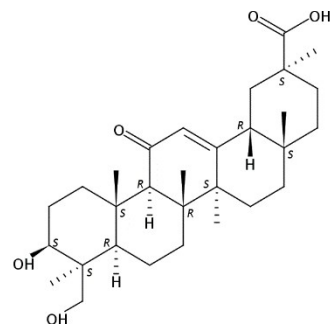
(25)



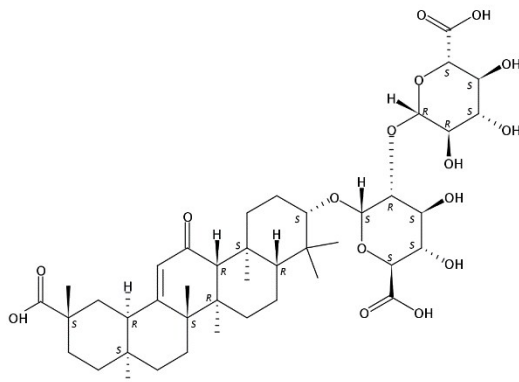
(26)



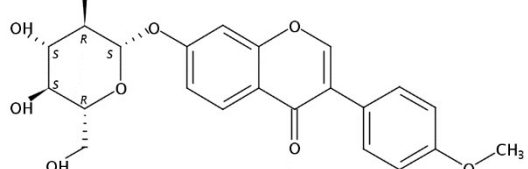
(27)



(28)



(29)



(30)